

УДК 621.385

ДИАГНОСТИРОВАНИЕ ОПОР СКОЛЬЖЕНИЯ АГРЕГАТОВ  
ПРОКАТНОГО ПРОИЗВОДСТВА ЭЛЕКТРОРЕЗИСТИВНЫМ  
МЕТОДОМ

Е. Н. БИРЮКОВ, Д. В. КОРОТКИЙ, Л. Н. ВИНОГРАДОВА  
ФГБОУ ВПО «ЧЕРЕПОВЕЦКИЙ ГОСУДАРСТВЕННЫЙ  
УНИВЕРСИТЕТ»  
Череповец, Россия

В связи с увеличением скоростей и оптимизацией технологических процессов современное прокатное производство характеризуется интенсификацией нагрузок на оборудование. В этих условиях большое внимание уделяется техническому состоянию наиболее подверженных износу и отказу узлов. К таким узлам относятся подшипниковые опоры. Для решения задач по определению их технического состояния наиболее широкое распространение получили различные методы анализа вибrosигналов, методы диагностирования на базе продуктов износа, тепловые и кинематические.

Существует ряд причин по которым определение технического состояния вышеупомянутыми методами крупногабаритных опор скольжения вызывает технические трудности [1].

Благодаря фундаментальным работам большого круга ученых, достигнуты значительные успехи в области развития электропараметрических методов диагностирования, использование которых позволяет оперативно обнаружить развивающуюся неисправность подшипника, оценить степень ее значимости и предпринять меры к предотвращению незапланированной остановки производственного процесса.

В основу описываемого метода заложен диагностический признак – активное электрическое сопротивление, оцениваемое с помощью полученного непосредственно из зоны трения подшипника скольжения информационного электрорезистивного сигнала.

Основными оставляющими электрическое сопротивления подшипника  $R_{\vartheta}$  считаются сопротивление стягивания  $R_{CT}$  и сопротивление смазочной пленки  $R_{CP}$  [2, 3].

$$R_{\vartheta} = R_{CT} + R_{CP}. \quad (1)$$

В условиях жидкостной смазки, характерной для большинства рассматриваемых подшипников, влияние сопротивления стягивания на общее сопротивление незначительно. Схему замещения смазочного слоя можно представить в виде параллельного соединения идеальных: активного сопротивления  $R_1$  и емкости  $C_1$  (рис. 1).

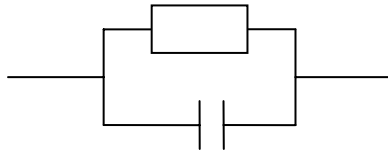


Рис. 1. Схема замещения сма佐чного слоя

Считая, что через узел протекает постоянный ток, обеспечиваемый стабилизированным источником, можно пренебречь учетом емкости сма佐чного слоя подшипника. Поэтому можно рассматривать обобщенную схему, содержащую одну ячейку – активное сопротивление.

Активное сопротивление сма佐чного слоя определяется толщиной гидродинамической пленки, разделяющей рабочие поверхности и удельным электрическим сопротивлением сма佐чного материала. Согласно теоретическим представлениям, при уменьшении толщины слоя жидкого диэлектрика, его удельное сопротивление и электрическая прочность должны возрастать, поскольку количество примесей, способных образовывать проводящие мостики, уменьшается. Однако экспериментальные испытания подтвердили данную гипотезу только для толщин слоя  $10^{-5}$ – $10^{-3}$  м, для более тонких пленок удельное сопротивление существенно не изменяется, а величина активного сопротивления имеет близкую к линейной монотонную зависимость от толщины [1]:

$$R_{CPT} = \rho_{CM} \cdot \frac{h}{S_h}, \quad (2)$$

где  $h$  – толщина сма佐чной пленки;  $\rho_{CM}$  – удельное сопротивление сма佐чного материала (составляет  $10^5$ – $10^{13}$  Ом·м для наиболее часто применяемых синтетических и турбинных масел);  $S_h$  – площадь, на которой толщина сма佐чной пленки равна  $h$ .

При разделении поверхностей только граничным слоем сма佐чного материала (толщина превышает значение, соответствующее началу туннельного эффекта и составляет 0,1...1 мкм) наблюдается уменьшение удельного сопротивления сма佐чной пленки на несколько порядков [2, 3].

При работе в условиях минимальных толщин сма佐чного слоя в некоторые моменты может наблюдаться продавливание пленки и контактирование наиболее высоких микровыступов рабочих поверхностей. При вращении вала шероховатые поверхности контактируют друг с другом через тонкие поверхностные сма佐чные пленки, поверхностное сопротивление которых составляет для рассматриваемых подшипников скольжения порядка и  $\rho_{PC} = 5 \cdot 10^{-2}$ ...  $1 \cdot 10^{-1}$  Ом·м<sup>2</sup>. Контактное сопротивление поверхностных сма佐чных пленок согласно [4] определяется:

$$R_{СПК} = \frac{\rho_{PC}}{2 \cdot n_{II} \cdot r_{II}^2}. \quad (3)$$

Сопротивление стягивания  $R_{CT}$ , обусловленное искажениями линий тока в сечениях контактирующих тел, определяется размерами и числом пятен контакта. При контакте двух тел с одинаковым удельным сопротивлением  $\rho$  для группы круглых пятен одинакового радиуса  $r_{II}$  равномерно распределенных по поверхности контакта радиусом  $r_k$  сопротивление стягивания согласно [5] определяется:

$$R_{CT} = \frac{\rho}{2} \cdot \left( \frac{1}{n_{II} \cdot r_{II}} + \frac{32}{3 \cdot \pi^2 \cdot n_K \cdot r_K} + \frac{32}{3 \cdot \pi^2 \cdot r_C} \right), \quad (4)$$

где  $n_{II}$  – число пятен контакта в контактной зоне,  $n_K$  – число групп пятен металлического контакта (кластеров),  $r_C$  – радиус контура, охватывающего совокупность кластеров. Применяемые при заливке вкладышей баббиты и стали шейки валов имеют удельные сопротивления порядка  $10^{-7}$  Ом·м, поэтому влиянием  $R_{CT}$ , в данном случае, можно пренебречь.

Таким образом, в описываемом методе предполагается, что при разделении поверхностей даже граничным слоем смазочного материала, сопротивление промежутка гораздо выше, чем при установлении контакта между шейкой вала и вкладышем. На основе анализа резких падений сопротивления в промежутке, можно судить о наличии предаварийной или аварийной ситуации.

## СПИСОК ЛИТЕРАТУРЫ

1. **Бирюков, Е. Н.** Метод и алгоритмы обработки электрорезистивных сигналов в системе диагностирования опорных узлов скольжения агрегатов металлургического производства: Дис... канд. техн. наук / Бирюков Е. Н. – Череповец, 2008. – 169 с.
2. **Подмастерьев, К. В.** Электропараметрические методы комплексного диагностирования опор качения / К. В. Подмастерьев. – М. : Машиностроение - 1, 2001. – 376 с.
3. **Марков, В. В.** Электрорезистивный метод и средства диагностирования подшипников качения: Дис... канд. техн. наук / Марков В. В. – Орел, 2004. – 234 с.
4. **Jeffcott, H. H.** The lateral vibration of loaded shifts in the neighborhood of a whirling speed -the effects of want of balance [Текст] / H. H. Jeffcott // Philosophical Magazine Series 6. – 1919. – 37:304.
5. **Джонсон, К.** Механика контактного взаимодействия: пер. с англ. / К. Джонсон. – М. : Мир, 1989. – 510 с.